

## Elektrische Eigenschaften

## Electrical properties

## Höchstzulässige Werte

## Maximum rated values

Periodische Vorwärts- und Rückwärts-Spitzenperrspannung Vorwärts-Stoßspitzen-Sperrspannung Rückwärts-Stoßspitzen-Sperrspannung Durchlaßstrom-Grenzeffektivwert Dauergrenzstrom	repetitive peak forward off-state and reverse voltages non repetitive peak forward off-state voltage non repetitive peak reverse voltage RMS on-state current average on-state current	$t_{vj} = -40^{\circ}\text{C} \dots t_{vj\ max}$ $t_{vj} = -40^{\circ}\text{C} \dots t_{vj\ max}$ $t_{vj} = +25^{\circ}\text{C} \dots t_{vj\ max}$ $t_C = 65^{\circ}\text{C}$ $t_C = 44^{\circ}\text{C}$	$V_{DRM}, V_{RRM}$ $V_{DSM} = V_{DRM}$ $V_{RSM} = V_{RRM}$ $I_{TRMSM}$ $I_{TAVM}$ $I_{TSM}$ $I^2t$	200, 400 v 600, 800 v +50 v 200 A 72 A 127 A 2400 A <b>2050 A</b> 28800 A <sup>2</sup> s 21000 A <sup>2</sup> s 200 A/ $\mu$ s <sup>1)</sup> <sup>2)</sup>
Stoßstrom-Grenzwert	surge current	$t_{vj} = 25^{\circ}\text{C}, t_p = 10\text{ ms}$ $t_{vj} = t_{vj\ max}, t_p = 10\text{ ms}$ $t_{vj} = 25^{\circ}\text{C}, t_p = 10\text{ ms}$ $t_{vj} = t_{vj\ max}, t_p = 10\text{ ms}$	$I_{TSM}$	2000 A
Grenzlastintegral	$I^2t$ -value			2400 A <b>2050 A</b> 28800 A <sup>2</sup> s 21000 A <sup>2</sup> s
Kritische Stromteilheit	critical rate of rise of on-state current	$v_0 \leq 67\% V_{DRM}, f = 50\text{ Hz}$	$(di/dt)_{cr}$	200 A/ $\mu$ s
Kritische Spannungsteilheit	critical rate of rise of off-state voltage	$i_{GM} = 0,6\text{ A}, di_G/dt = 0,6\text{ A}/\mu\text{s}$ $t_{vj} = t_{vj\ max}, V_D = 67\% V_{DRM}$	$(dv/dt)_{cr}$	<sup>1)</sup> <sup>2)</sup> B: 50 50 V/ $\mu$ s C*: 500 500 V/ $\mu$ s L: 500 50 V/ $\mu$ s M*: 1000 500 V/ $\mu$ s

## Charakteristische Werte

## Characteristic values

Durchlaßspannung Schleusenspannung Ersatzwiderstand Zündstrom Zündspannung Nicht zündender Steuerstrom Nicht zündende Steuerspannung Haltestrom Einraststrom	on-state voltage threshold voltage slope resistance gate trigger current gate trigger voltage gate non-trigger current gate non-trigger voltage holding current latching current	$t_{vj} = t_{vj\ max}, i_T = 400\text{ A}$ $t_{vj} = t_{vj\ max}$ $t_{vj} = t_{vj\ max}$ $t_{vj} = 25^{\circ}\text{C}, V_D = 6\text{ V}$ $t_{vj} = 25^{\circ}\text{C}, V_D = 6\text{ V}$ $t_{vj} = t_{vj\ max}, V_D = 6\text{ V}$ $t_{vj} = t_{vj\ max}, V_D = 0,5 V_{DRM}$ $t_{vj} = 25^{\circ}\text{C}, V_D = 6\text{ V}, R_A = 5\Omega$ $t_{vj} = 25^{\circ}\text{C}, V_D = 6\text{ V}, R_{GK} \geq 10\Omega$ $i_{GM} = 0,6\text{ A}, di_G/dt = 0,6\text{ A}/\mu\text{s}, t_g = 20\text{ }\mu\text{s}$	$v_T$ $V_{TT(0)}$ $r_T$ $I_{GT}$ $V_{GT}$ $I_{GD}$ $V_{GD}$ $I_H$ $I_L$	max. 2,2 V 1,25 V 1,8 m $\Omega$ max. 150 mA max. 2 v max. 10 mA max. 0,25 V max. 250 mA max. 750 mA
Vorwärts- u. Rückwärts-Sperrstrom Zündverzug Freiwerdezeit	forward off-state and reverse Currents gate controlled delay time circuit commutated turn-off time	$t_{vj} = t_{vj\ max}, V_D = V_{DRM}, V_R = V_{RRM}$ $t_{vj} = 25^{\circ}\text{C}, i_{GM} = 0,6\text{ A}, di_G/dt = 0,6\text{ A}/\mu\text{s}$ siehe Techn. Erl./see Techn. Int.	$i_D, i_R$ $t_{gd}$ $t_q$	max. 30 mA max. 1,4 $\mu$ s B*: max. 10 ps D: max. 15 $\mu$ s S: max. 18 $\mu$ s E: max. 20 $\mu$ s

## 'hermische Eigenschaften

## Thermal properties

Innerer Wärmewiderstand	thermal resistance, junction to case	$\Theta = 180^{\circ}\text{ el, sin}$ DC	$R_{thJC}$	max. 0,35 $^{\circ}\text{C/W}$ max. 0,33 $^{\circ}\text{C/W}$
Höchstzul. Sperrsichttemperatur Betriebstemperatur Lagertemperatur	max. junction temperature Operating temperature storage temperature		$t_{vj\ max}$ $t_{C\ op}$ $t_{stg}$	125 $^{\circ}\text{C}$ -40 ... + 125 $^{\circ}\text{C}$ -40 ... + 150 $^{\circ}\text{C}$

## Mechanische Eigenschaften

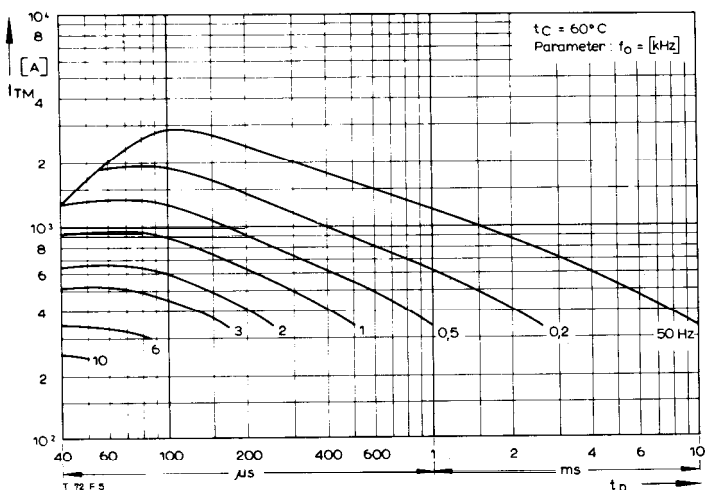
## Mechanical properties

Si-Element mit Druckkontakt Anzugsdrehmoment Gewicht Kriechstrecke Feuchteklaasse Schwingfestigkeit Maßbild B	Si-pellet with pressure contact tightening torque weight Creepage distance humidity classification Vibration resistance outline B	$\Theta = 180^{\circ}\text{ el, sin}$ DC DIN 40040 $f = 50\text{ Hz}$ DIN 41692.20483	M G	20 Nm 150 g 8mm C 50 m/s <sup>2</sup>
				Seite/page 154

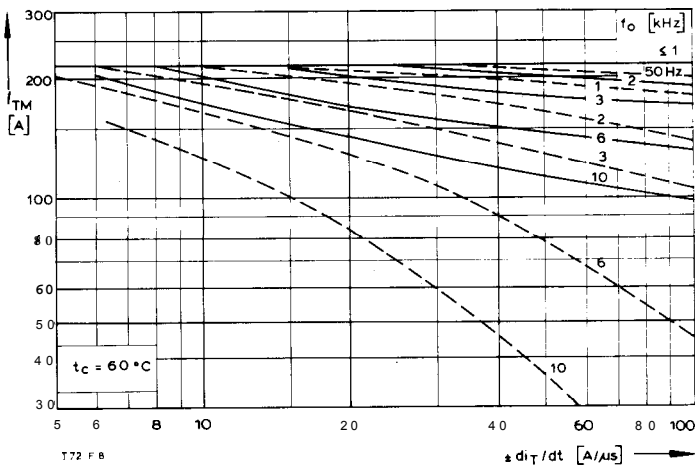
\* Für größere Stückzahlen bitte Liefertermin erfragen/Delivery for larger quantities on request

1) Werte nach DIN IEC 747-6 (ohne vorausgehende Kommutierung)/Values to DIN IEC 747-6 (without prior commutation)

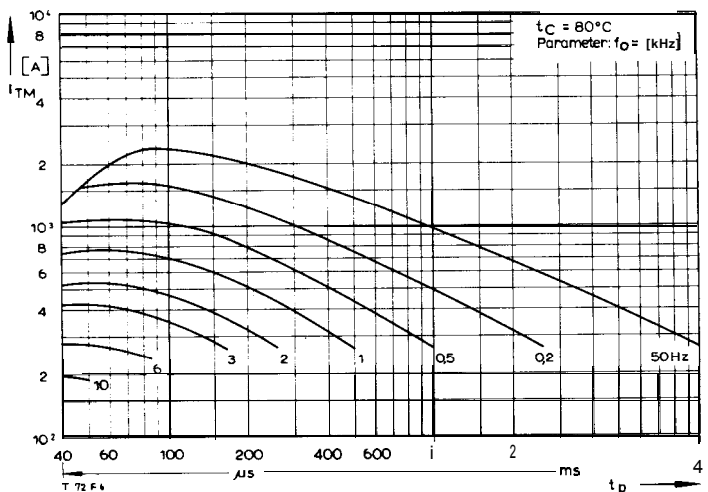
2) Unmittelbar nach der Freiwerdezeit, vgl. Meßbedingungen für  $t_q$ /Immediately after circuit commutated turn-off time, see Parameters  $t_q$



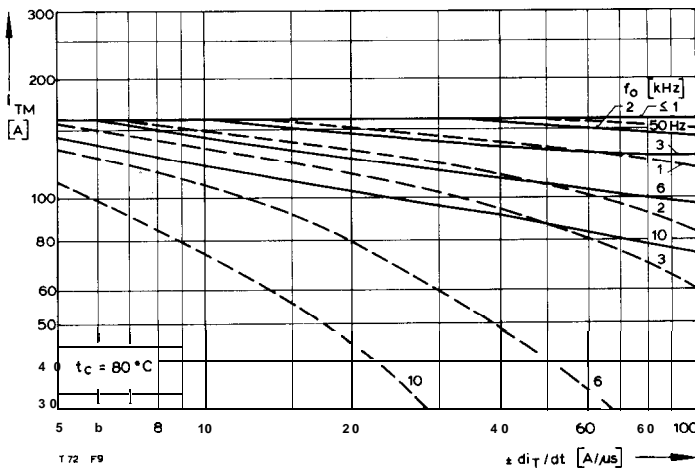
BildlFig. 1



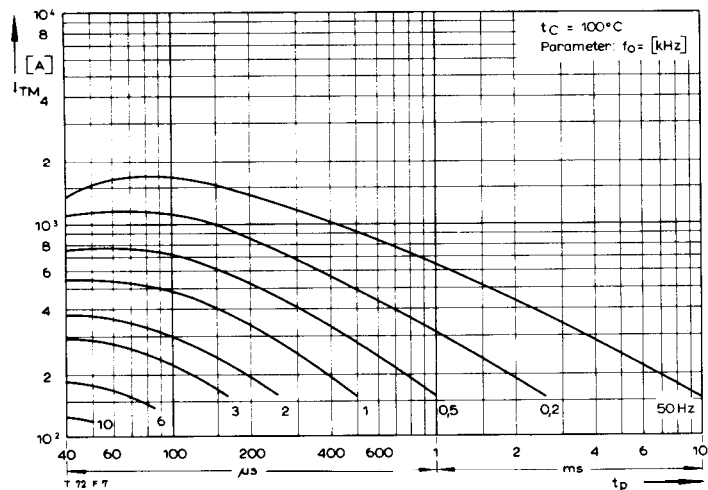
BildlFig. 4



BildlFig. 2



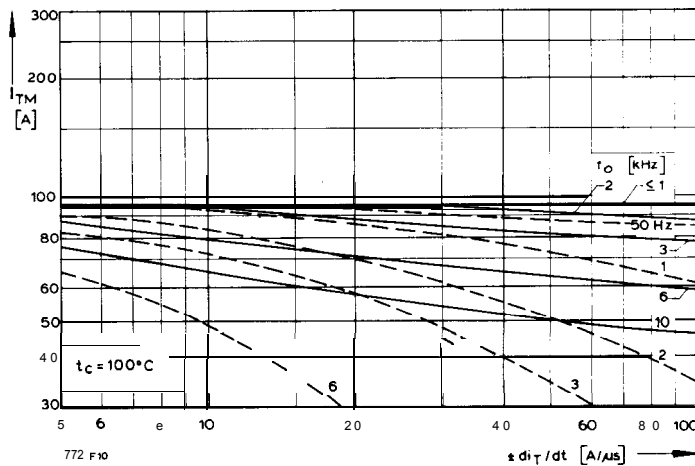
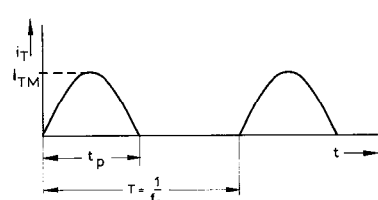
BildlFig. 5



BildlFig. 3

BildlFig. 1, 2, 3  
Steuergenerator/pulse generator:  
 $i_G = 0.6 \text{ A}, di_G/dt = 0.6 \text{ A}/\mu\text{s}$

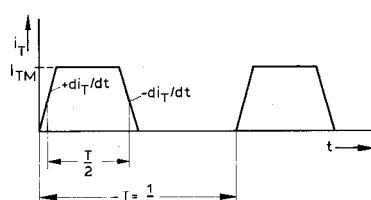
RC-GliedIRC-network:  
 $R[\Omega] \geq 0,02 V_{DM} [\text{V}]$   
 $C \leq 0,15 \mu\text{F}$   
 $VDM \leq 0,67 V_{DRM}$



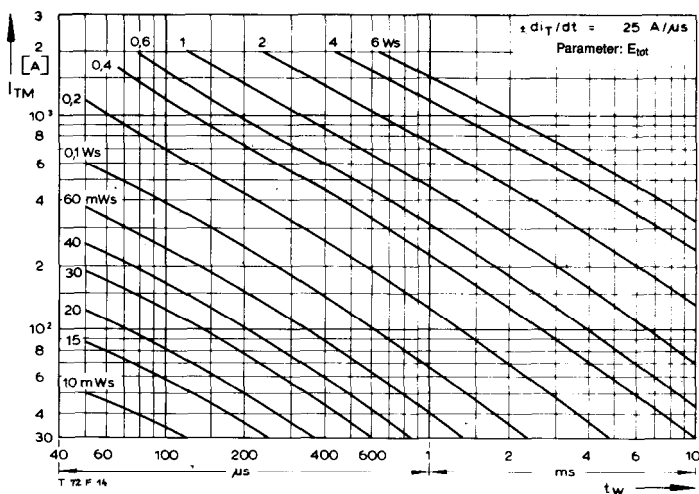
BildlFig. 6

BildlFig. 4, 5, 6  
Steuergenerator/pulse generator:  
 $i_G = 0,6 \text{ A}, di_G/dt = 0,6 \text{ A}/\mu\text{s}$

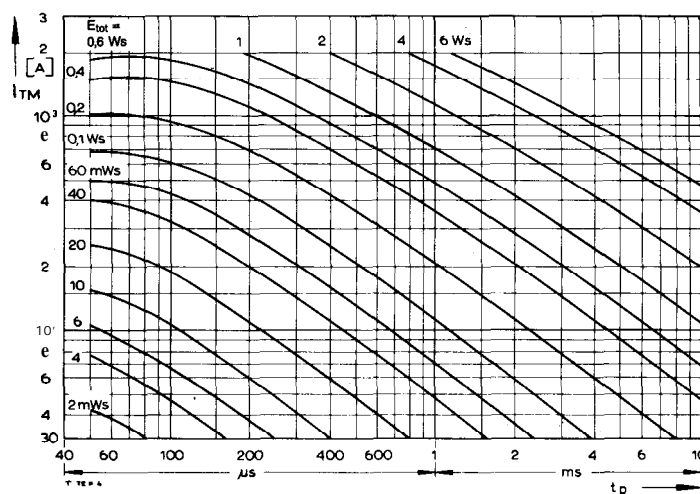
RC-GliedIRC-network:  
 $R[\Omega] \geq 0,02 V_{DM} [\text{V}]$   
 $C \leq 0,22 \mu\text{F}$   
 $VDM \leq 0,67 V_{DRM}$   
 $dv_R/dt \leq 500 \text{ V}/\mu\text{s}$   
 $V_{RM} \leq 0,67 V_{RRM}$



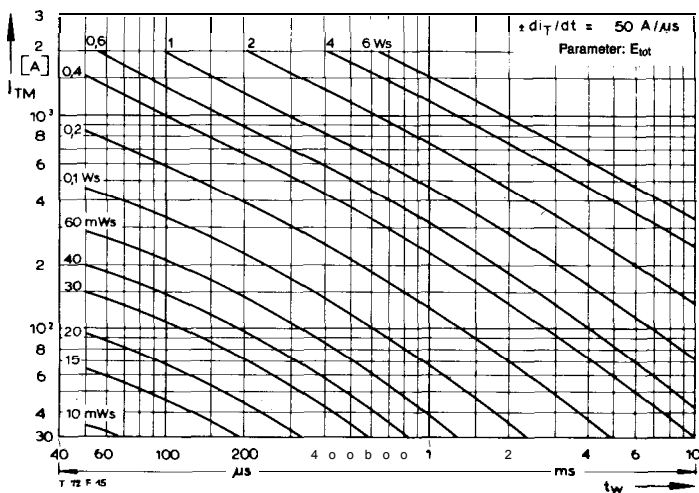
# T 72 F



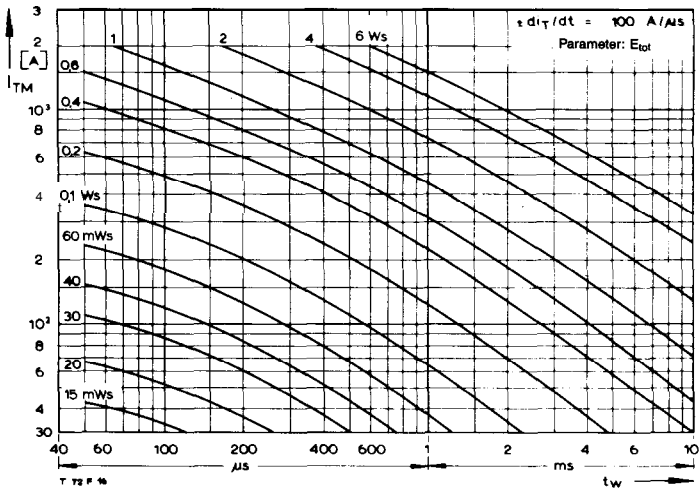
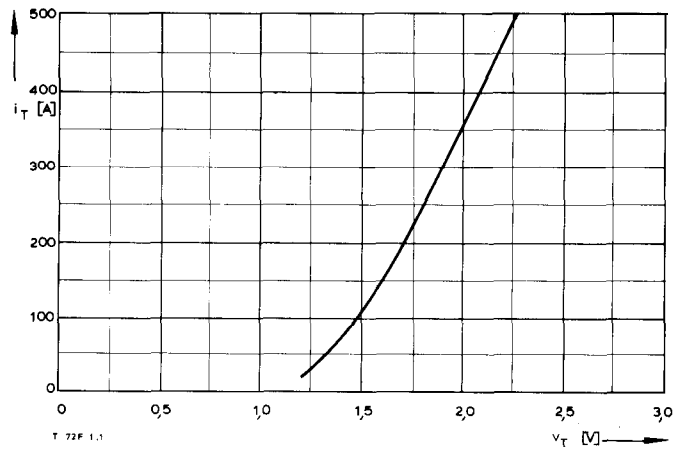
Bild/Fig. 10



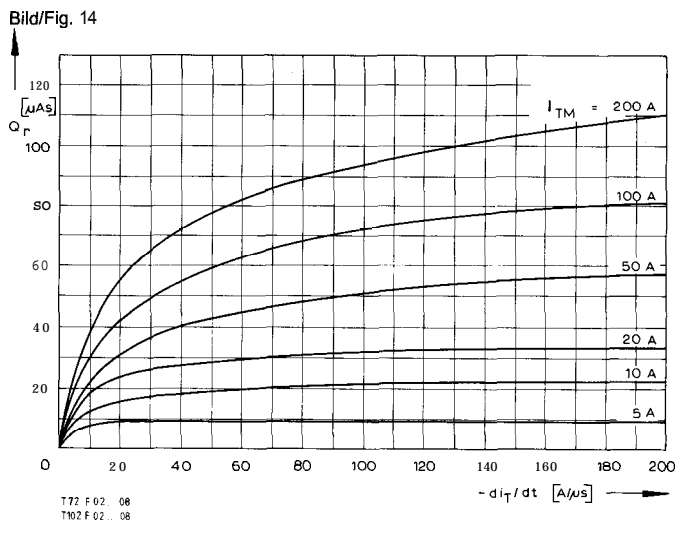
Bild/Fig. 13



Bild/Fig. 11



Bild/Fig. 12



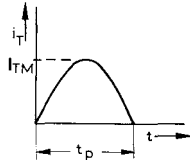
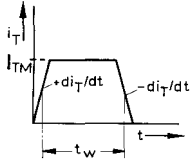
Bild/Fig. 15

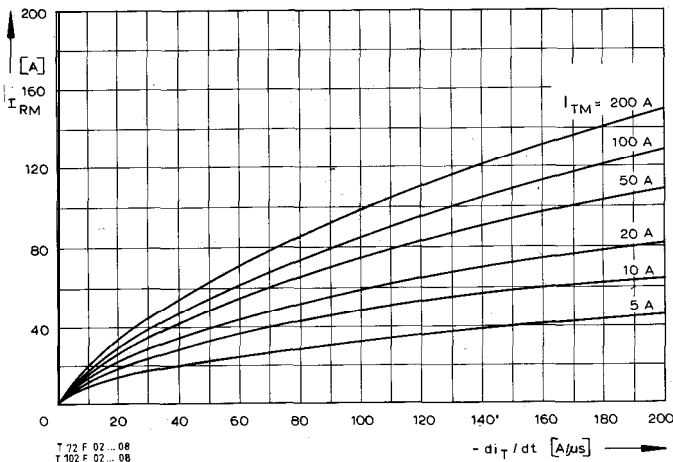
Bild/Fig. 10, 11, 12  
Steuergenerator/pulse generator:  
 $i_G = 0.6 \text{ A}$ ,  $di_G/dt = 0.6 \text{ A}/\mu s$

RC-Glied/RC-network:  
 $F1 [\Omega] \geq 0.02 V_{DM} [\text{V}]$   
 $C \leq 0.22 \mu F$   
 $V_{DM} \leq 0.67 V_{DRM}$   
 $dv_F/dt \leq 500 \text{ V}/\mu s$   
 $V_{RH} \leq 0.67 V_{RRM}$

(zu Bild/Fig. 13)  
Steuergenerator/pulse generator:  
 $i_G = 0.6 \text{ A}$ ,  $di_G/dt = 0.6 \text{ A}/\mu s$

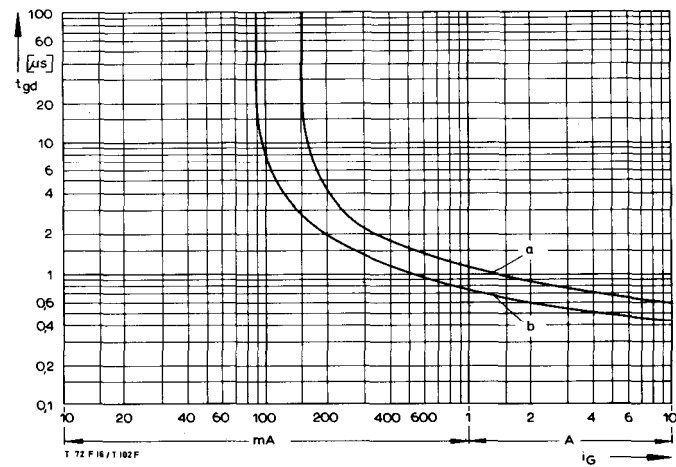
RC-Glied/RC-network:  
 $R [\Omega] \geq 0.02 V_{DM} [\text{V}]$   
 $C \leq 0.15 \mu F$





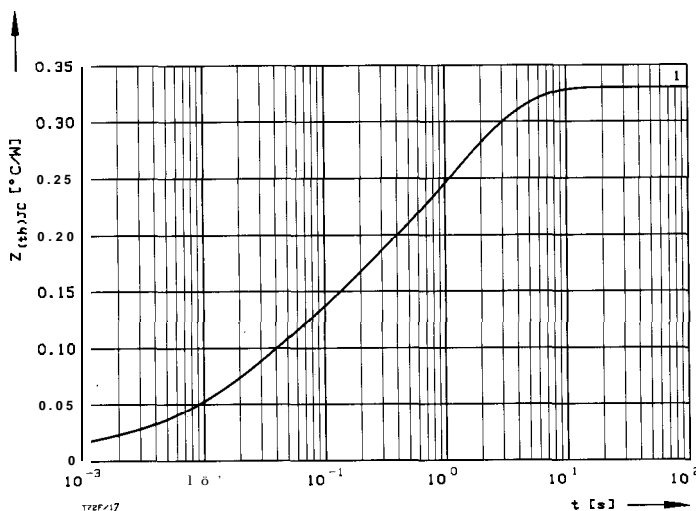
Bild/Fig. 16

Rückstromspitze  $I_{RM} = f(-di/dt)$ ,  $t_{Vj} = t_{Vj}(\text{max})$ ,  $V_R = 0.5 V_{RRM}$ ,  $V_{RM} = 0.8 V_{RRM}$   
Peak reverse recovery current  $I_{RM} = f(-di/dt)$ ,  $t_{Vj} = t_{Vj}(\text{max})$ ,  $V_R = 0.5 V_{RRM}$ ,  $V_{RM} = 0.8 V_{RRM}$   
Parameter: Durchlaßstrom/On-state current  $I_{TM}$



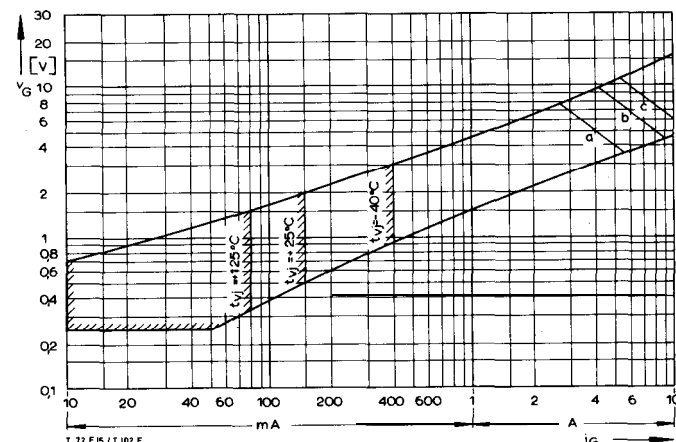
Bild/Fig. 18

Zündverzug/Gate controlled delay time  $t_{gd} = f(i_{GM})$ ,  $t_{Vj} = 25^\circ\text{C}$ ,  $di_G/dt = i_{GM}/1\mu\text{s}$   
a - Maximaler Verlauf/Limiting Characteristic  
b - Typischer Verlauf/Typical Characteristic



Bild/Fig. 17

Transient inner thermal resistance  $Z_{thJC} = f(t)$ , DC  
Transient thermal impedance  $Z_{thJC} = f(t)$ , DC



Bild/Fig. 19

Steuercharakteristik mit Zündbereichen/Gate Characteristic with triggering areas  
 $V_G = f(i_G)$ ,  $V_D = 6\text{ V}$

Parameter:	a	b	c
Steuerimpulsdauer/Trigger pulse duration $t_g$ [ms]	10	1	0,5
Höchstzulässige Spitzensteuerverlustleistung/ Max. rated peak gate power dissipation $P_{GM}$ [W]	20	40	60

Analytische Elemente des transienten Wärmewiderstandes  $Z_{thJC}$  für DC  
Analytical elements of transient thermal impedance  $Z_{thJC}$  for DC

Pos. n	1	2	3	4	5	6	7
$R_{thn}$ [ $^\circ\text{C}/\text{W}$ ]	0,012	0,02	0,055	0,07	0,085	0,088	
$\tau_n$ [s]	0,00053	0,0064	0,025	0,13	0,8	2,6	

Analytische Funktion/analytical function:

$$Z_{thJC} = \sum_{n=1}^{n_{\max}} R_{thn} (1 - \text{EXP}(-t/\tau_n))$$